















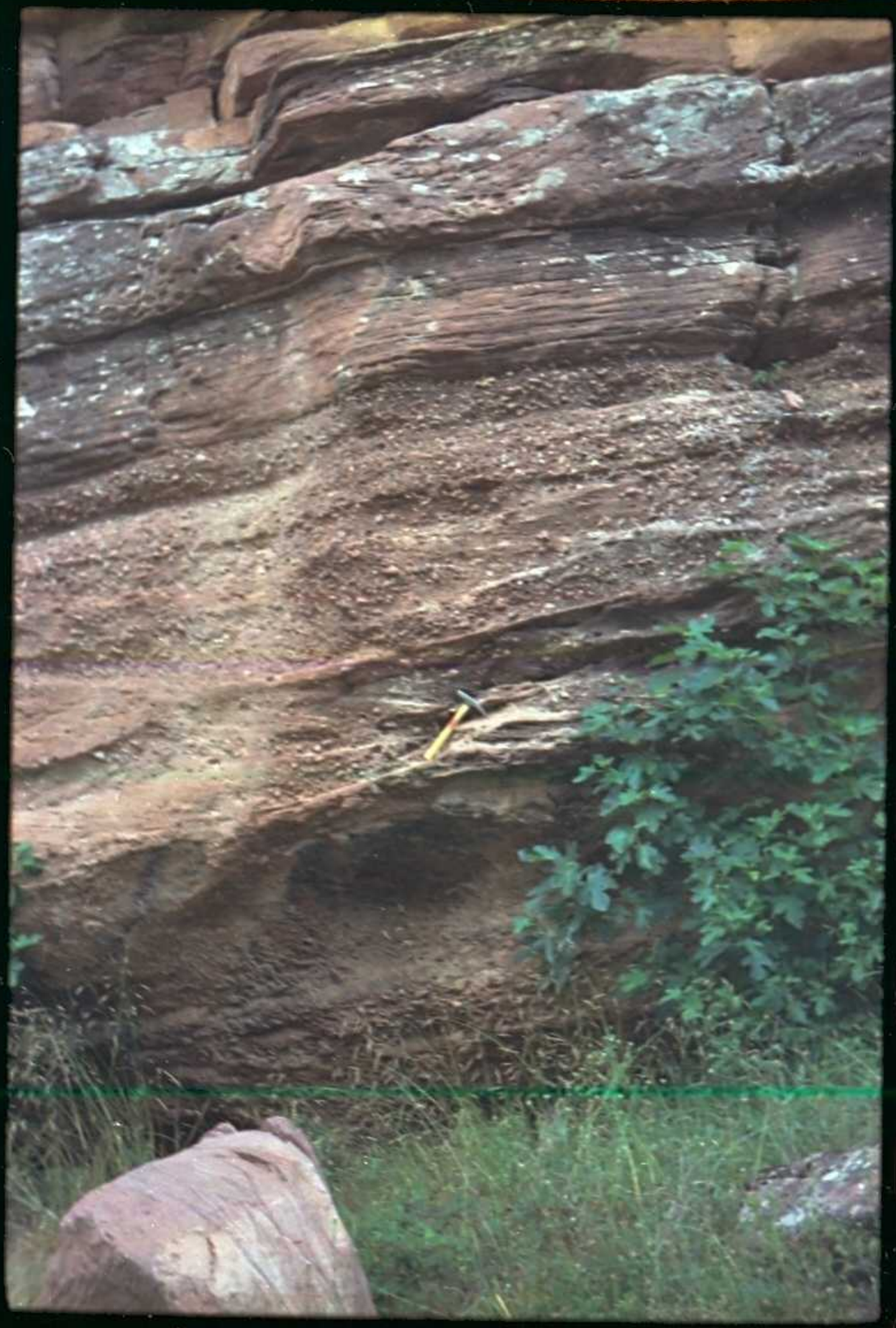






















HOJA 25-25 (VILLAR DEL HUMO)

COLECCION DE FOTOGRAFIAS.-

F.JR 101: Falla entre calizas dolomíticas del Muschelkalk (izquierda) (T_{G2}) y areniscas del Buntsandstein superior (derecha) (T_{G13}).

F.JR 102: Areniscas con estratificación cruzada del Buntsandstein superior (T_{G13}).en la columna del Cañizar.

F.JR 103: Detalle del corte de Campillos Paravientos-I. Tramo de muestras JR-5 a JR-20 (Malm-Barremiense).

F.JP 827: Arcillas violáceas del Barremiense en facies Weald (C_{W14-15}) al Sur de Carboneras de Guadazaón.

F.JP 1366: Contacto por falla entre las calizas del Dogger y Oxfordiense (J_{2-31}) (izquierda) y las dolomías brechoideas del Kimmeridgiense-Portlandiense (J_{32-33}) (derecha).

F.JP 1511: Superficie roja con grietas de desecación ("mud-cracks") en las arenas de la Fm. Utrillas (C_{16-21}^{0-1}) cerca de Pajaroncillo.

F.JP 1365: Detalle de las calizas tableadas del Dogger-Oxfordiense (J_{2-31}) en la columna de Pajaroncillo-I.

F.JP 1512: Detalle del conglomerado de base del tramo de areniscas del Buntsandstein superior (T_{G13}) de la columna de El Cañizar.

F.JP 1311: Detalle de las brechas del Pérmico (P) en el corte de Carretera de Boniches.

F.JP 1312: Aspecto general del Buntsandstein inferior (T_{G11}) en la columna de la Carretera de Boniches.

F.JP 1310: Detalle de los conglomerados del Buntsandstein inferior (T_{G11}) en la columna de la carretera de Boniches.

F.JP 640: Conglomerados del Buntsandstein inferior (T_{G11}) en paso al tramo limolítico del Buntsandstein medio (T_{G12}) en el corte de la Carretera de Boniches.

F.JP 659: Areniscas con estratificación cruzada del Buntsandstein superior (T_{G13}) junto al pueblo de Boniches.

F.JP 1170: Estratificación oblicua en el Buntsandstein superior (T_{G13}) al Sur de San Martín de Boniches.

F.JP 1293: Tránsito entre las areniscas del Buntsandstein superior (T_{G13}) y las dolomías y calizas del Muschelkalk (T_{G2}) al Sur de Boniches.

F.JP 1339: Alternancia de pizarras y cuarcitas verdosas (S^{B}_{2-3}). Al techo cuarcitas rojas (D_{11}). Cruce de la carretera de Teruel con la de Boniches.

F.JP.1453: Explotaciones de caolín en la carretera de Arguisuelas.

F.JP 1367: Pizarras gris-azuladas del Silúrico inferior-superior (S^{A-B}_{13-1}) en el Barranco de la Lovera.

F.JP 1368: Flanco invertido del anticlinal paleozoico. Serie pizarrosa del Silúrico inferior-superior (S^{A-B}_{13-1}) en el Barranco de la Lovera.

F.JP 1369: Intercalación de cuarcitas dentro de la serie pizarrosa del Silúrico inferior-superior (S^{A-B}_{13-1}) que demuestra la polaridad inversa de la misma.

F.JP 1337: Tobas cuaternarias (Q^{tr}) colgadas, al Norte de la carretera de Boniches.

F.JP 1307: Keuper (abajo) y Lias inferior calizo-dolomítico (arriba) al Norte de Boniches.

F.JP 1299: Lias inferior calizo suavemente plegado (izquierda) y Dogger calizo (derecha). El barranco central corresponde a las margas del Toarciense.

F.JP 104: Cenomaniense y Turoniense al Sur de Carboneras. En la base de la serie afloran las arcillas verdes.